

Università degli studi di Bergamo

Scuola di Ingegneria (Dolmine)

CCS Ingegneria Edile

LM-24 Ingegneria delle Costruzioni Edili

Complementi di Scienza delle Costruzioni

(ICAR/08 - SdC ; 6 CFU)

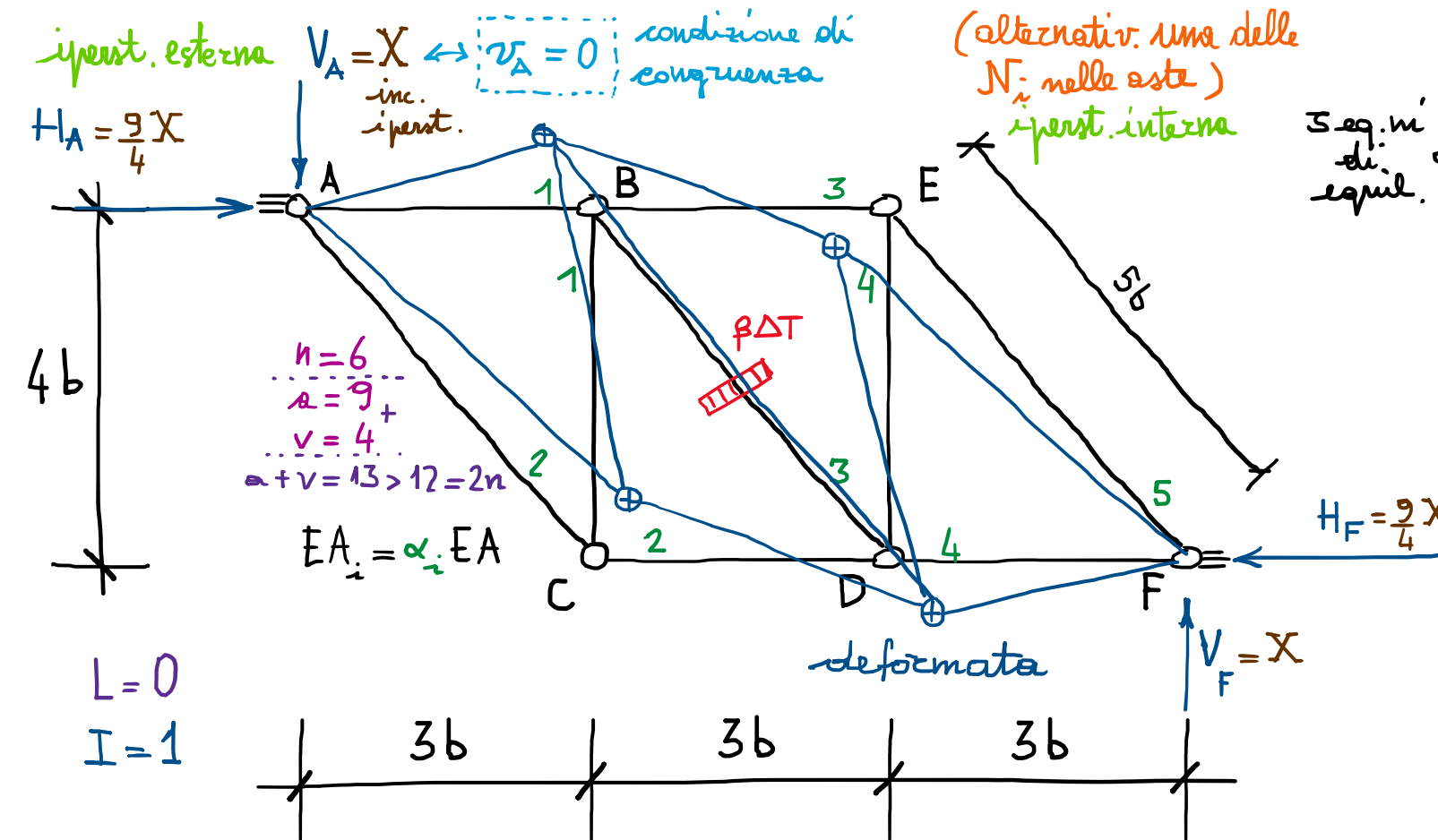
A.A. 2021/2022

prof. Egidio RIZZI

egidio.rizzi@unibg.it

LEZIONE 11

Soluzione di travatura reticolare iperstatico



Equilibrio globale:

$$\left\{ \begin{array}{l} \sum F_x = 0 \Rightarrow H_A = H_F = \frac{9}{4}X \\ \sum F_y = 0 \Rightarrow V_A = V_F = X \\ \sum M_A = 0 \Rightarrow V_F 9b = H_F 4b \Rightarrow H_F = \frac{9}{4}V_F \\ \end{array} \right. = \frac{9}{4}X$$

$RV = RV(X)$

Risoluzione tramite PLV (PFV) -

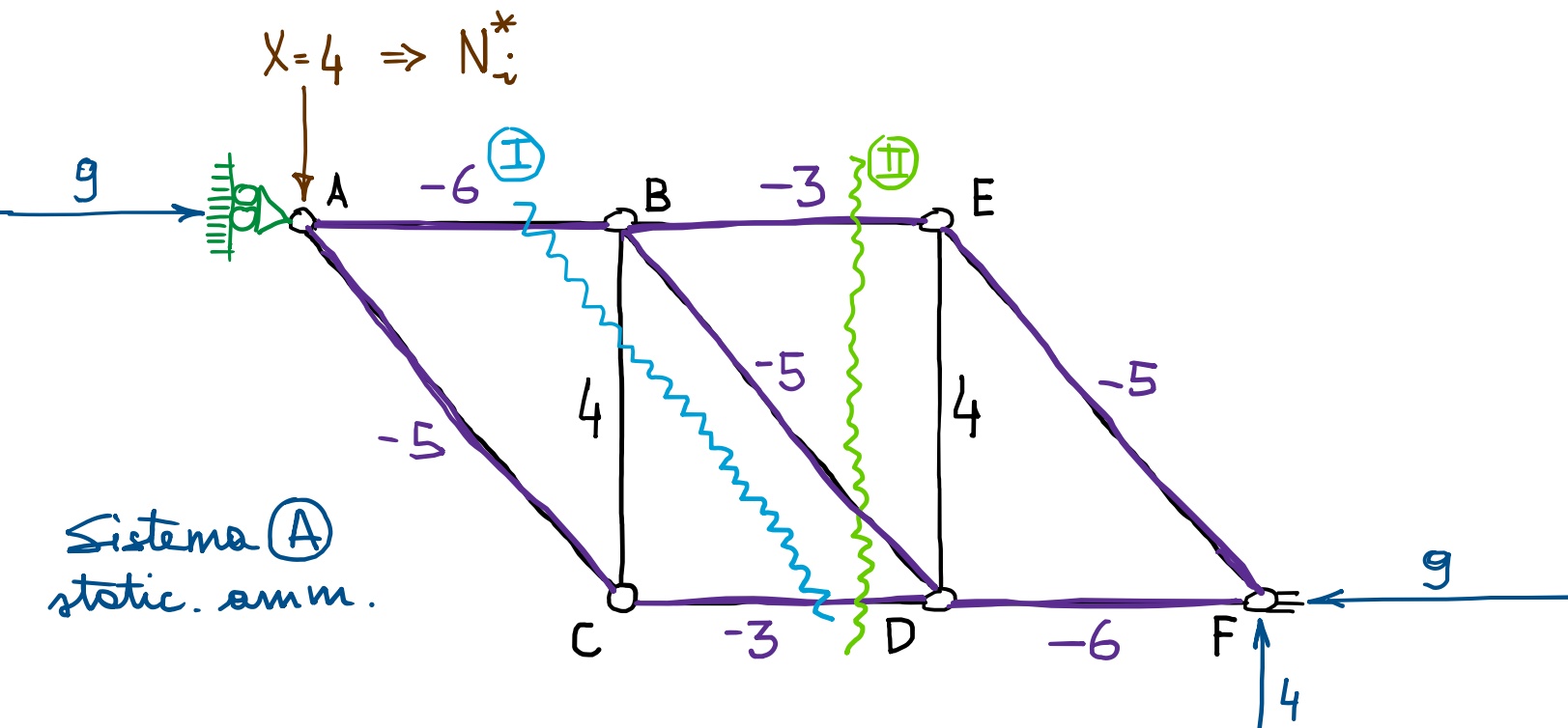
- Struttura principale isostatica
 $X = 0 \Rightarrow N_i^0 \equiv 0$

- Struttura fittizia
 $X = 1 \Rightarrow N_i^* = \frac{1}{4}N_i^*$
 $= 4 \Rightarrow N_i^* = 4N_i^*$

$$\begin{aligned} N_i &= N_i^0 + X N_i^* \\ &= N_i^0 + \frac{X}{4} N_i^* \end{aligned}$$

Sistema B \Rightarrow sistema reale
 e imm. amm.

Struttura fittizia



Metodo delle sezioni (Ritter)

$$\textcircled{I} \quad \sum M_B^{sn} = 0 \Rightarrow N_{CD}^* = -3 \checkmark$$

$$\sum M_C^{sn} = 0 \Rightarrow N_{AB}^* = -6 \checkmark$$

$$\sum F_y^{sn} = 0 \Rightarrow N_{BC}^* = 4 \checkmark$$

(v. asta tre-correlli)

$$\textcircled{II} \quad \sum M_B^{sn} = 0 \Rightarrow N_{BC} = -3 \checkmark$$

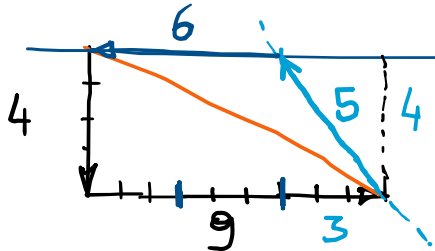
$$\sum M_D^{sn} = 0 \Rightarrow N_{BE} = -3 \checkmark$$

$$\sum F_y^{sn} = 0 \Rightarrow N_{BD} = -5 \quad (N_{BDy} = 4)$$

Metodo dei nodi

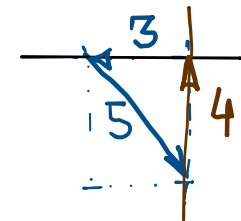
Nodo A :

(Nodo F)



poligono delle forze chiuso
(statica grafica)

Nodo C :
(Nodo E)



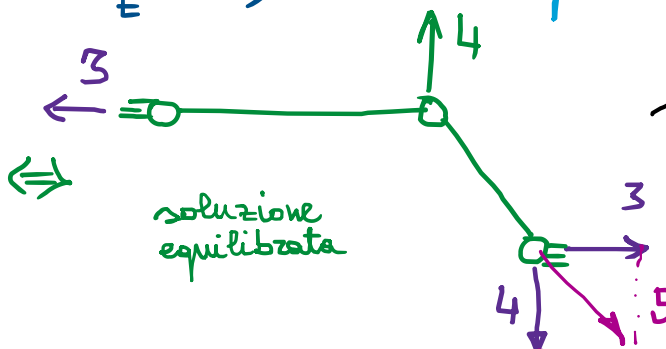
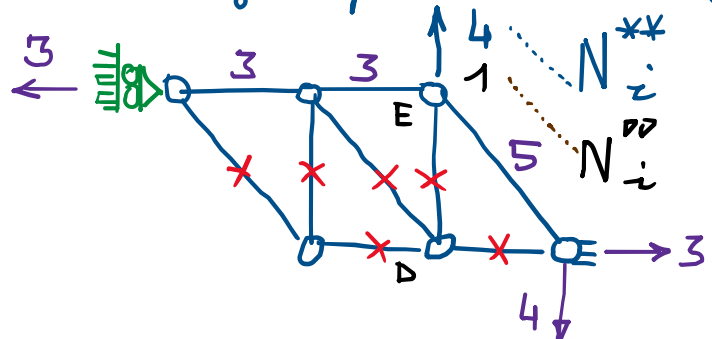
$$\int_e^{AB} = 1, \omega_A' = \int_{str} N_i' \frac{N_i + X N_i}{EA_i} dx_i + \int_{BD} N_{BD}' \alpha \beta \Delta T dx = \int_i^{AB}$$

$\underbrace{\omega_{n,e_i}}$

$\underbrace{\omega_{n+BD}}$

$$X = - \frac{\sum_i \frac{N_i^* N_i^0 l_i}{EA_i} + N_{BD} \times \beta \Delta T l_{BD}}{\sum_i \frac{N_i^* l_i}{EA_i}} = - \frac{\sum_i \frac{N_i^* N_i^0 l_i}{\alpha_i} + N_{BD} \times \beta \Delta T l_{BD} EA}{\sum_i \frac{N_i^* l_i}{\alpha_i}}$$

Calcolo degli spost. nodali (es. $v_E = ?$) \rightarrow deformata



$$1. v_E = \sum_i N_i \frac{\ddot{N}_i}{4} \left(N_i^0 + \frac{X}{4} N_i^4 \right) \frac{\rho_i}{\alpha_i EA}$$

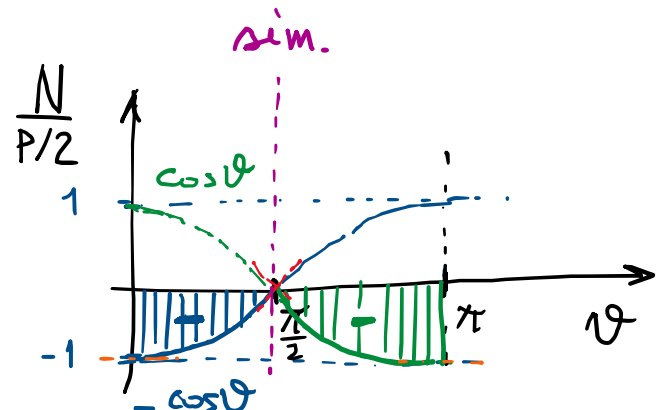
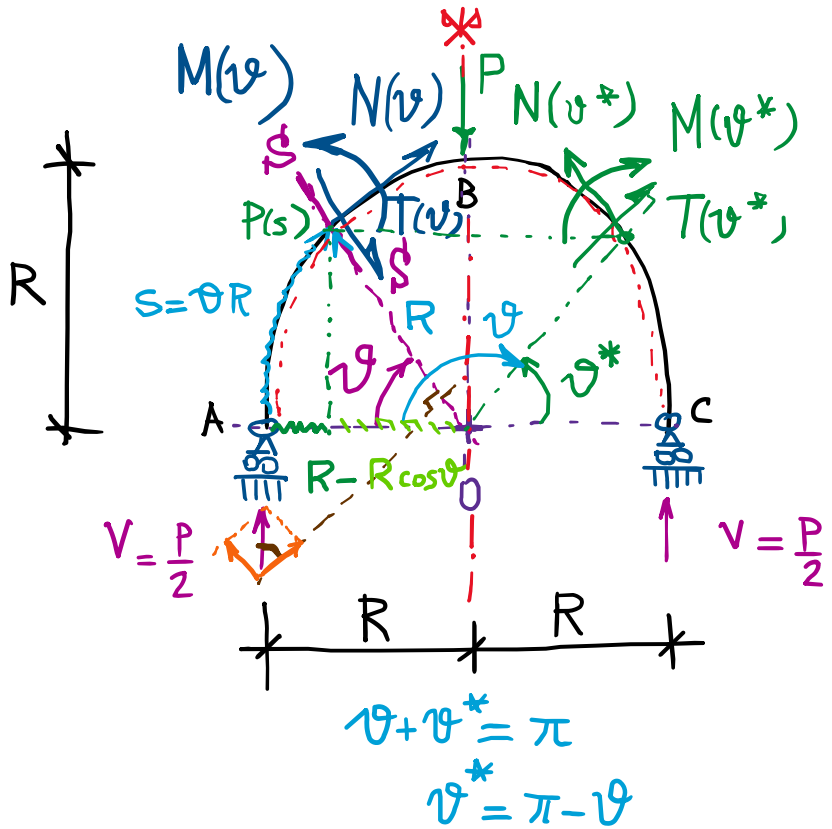
3
→
5

$$= -\frac{3}{2} \beta \alpha \Delta T b = v_E$$

$$v_E = v_D + \frac{\Delta \ell_{ED}}{EA_{ED}}$$

$$v_D = v_E - \frac{\Delta \ell_{ED}}{EA_{ED}}$$

Azioni interne in este curve



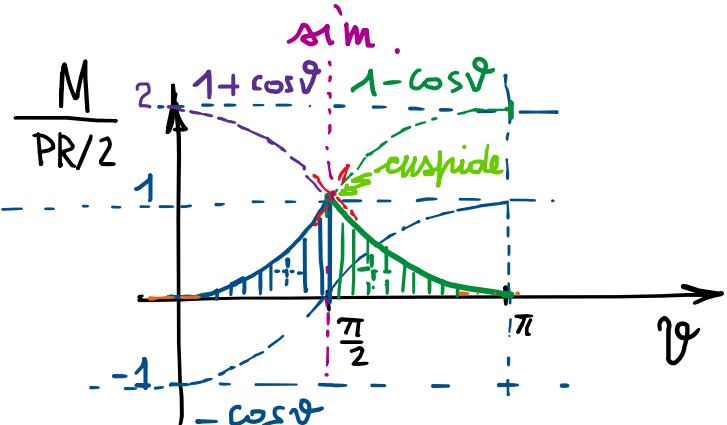
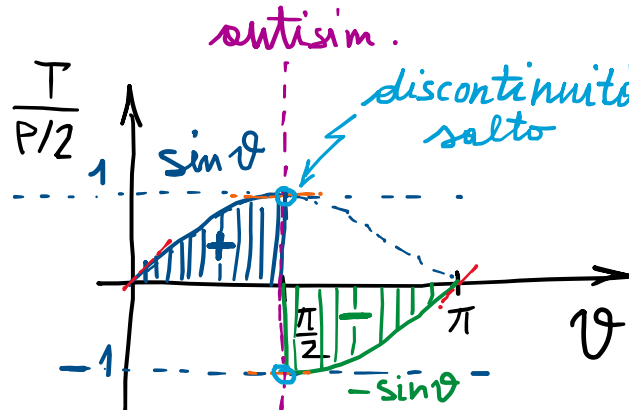
agirebbe rappresentazione analitica (in coordinate polari)

Arco circolare (con carico concentrato in chiuso):

$$\begin{cases} N(\vartheta) = -\frac{P}{2} \cos \vartheta \\ T(\vartheta) = \frac{P}{2} \sin \vartheta \\ M(\vartheta) = \frac{P}{2} R (1 - \cos \vartheta) \end{cases} \quad 0 \leq \vartheta < \frac{\pi}{2}$$

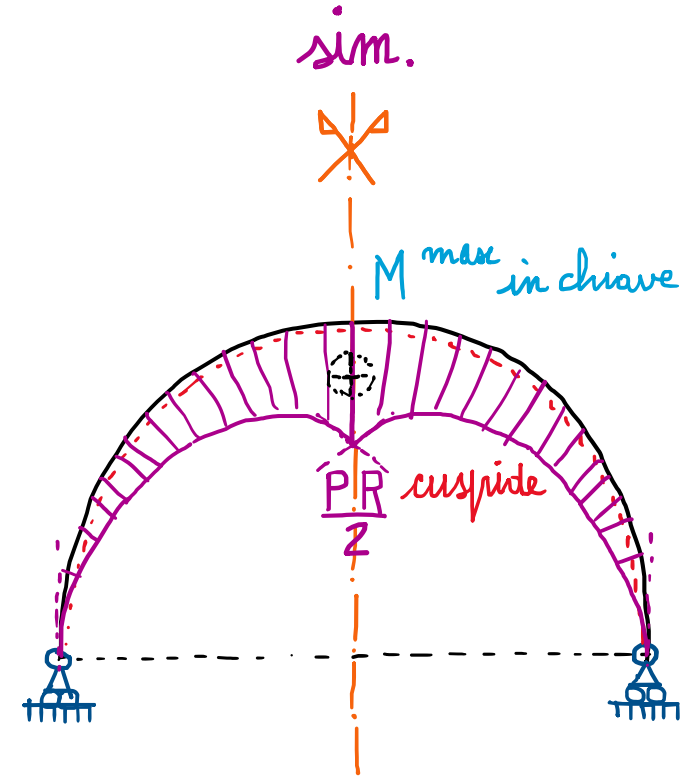
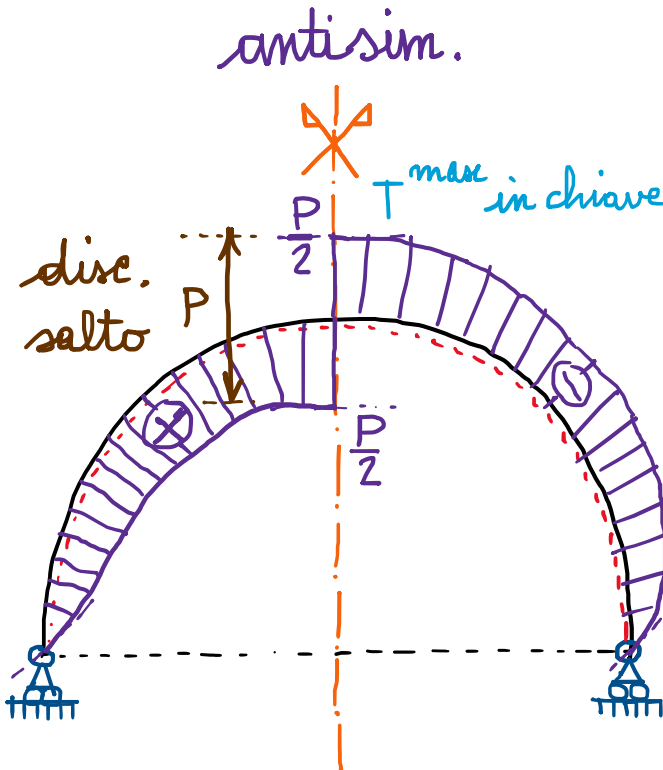
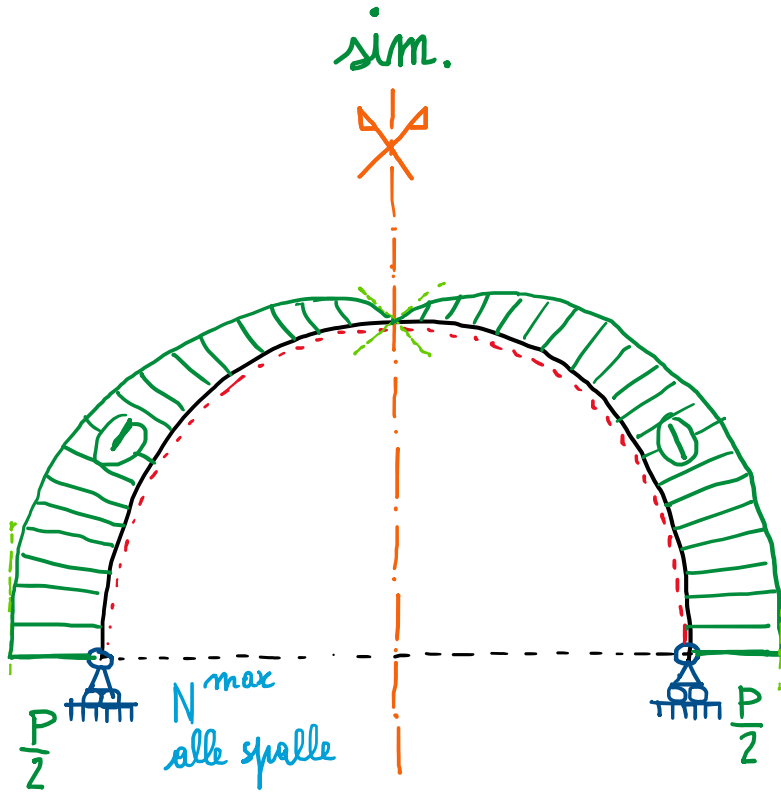
$$\begin{cases} N(\vartheta^*) = -\frac{P}{2} \cos \vartheta^* \\ T(\vartheta^*) = -\frac{P}{2} \sin \vartheta^* \\ M(\vartheta^*) = \frac{PR}{2} (1 - \cos \vartheta^*) \end{cases} \quad \begin{aligned} &= \frac{P}{2} \cos \vartheta \\ &= -\frac{P}{2} \sin \vartheta \\ &= \frac{PR}{2} (1 + \cos \vartheta) \end{aligned}$$

$$\frac{\pi}{2} < \vartheta \leq \pi$$



dipendenza analitica delle funzioni di Azione Interna e loro rappresentazione

Diagrammi delle Azioni Interni N, T, M (anomamenti funzionali rappresentati su fondamenti coincidenti con la struttura stessa)



$$N(\vartheta)$$

$$T(\vartheta)$$

$$M(\vartheta)$$